

1931

# Радиофронт

RADIO FRONT

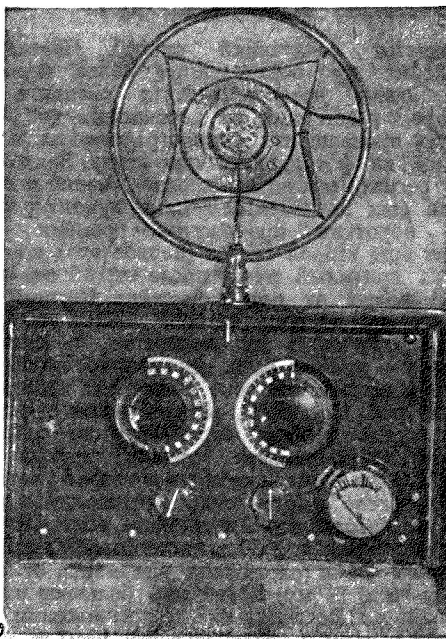
19-20



ЖУРНАЛ  
ОДР и  
ВЦСПС

И.Ак.

ЖУРНАЛЬНО-ГАЗЕТНОЕ ОБ'ЕДИНЕНИЕ



# САМОДЕЛЬНЫЙ

## КОНДЕНСАТОРНЫЙ

### МИКРОФОН

Н. Ф. КУПРЕВИЧ

Из всех систем микрофонов, применявшихся в нашем радиовещании с наилучшей стороны показал себя конденсаторный микрофон.

Конденсаторный микрофон (рис. 1) представляет собой небольшой емкости конденсатор (порядка 50–70 см), состоящей из металлической непод-

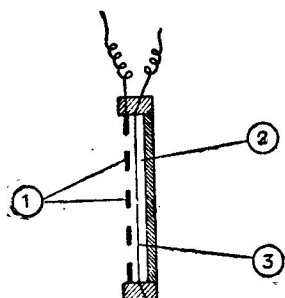


Рис. 1.

вижной решетки (1), против которой на незначительном расстоянии находится тонкая металлическая мембрана (2), являющаяся второй обкладкой конденсатора. Под действием звуковой волны мембрана прогибается, меняется расстояние (3) между решеткой и вследствие этого меняется емкость микрофона.

По качеству воспроизведения музыки, пения, речи конденсаторный микрофон является наиболее совершенным из всех существующих типов.

Первый конденсаторный микрофон был предложен в 1881 г., но из-за его малой мощности был забыт. С изобретением катодных ламп и усилителей о нем вспомнили снова.

В 1917 г. Е. Венте опубликовал данные о работе, которую он проделал над конденсаторным микрофоном, воспользовавшись ламповым усилителем. Его микрофон имел туго натянутую стальную тонкую мембрану. Мембрана натягивалась для получения периода собственных колебаний, лежа-

щих выше диапазона звуковых частот. За мембранный находился воздушный зазор. Столб воздуха в зазоре служил для увеличения затухания собственных колебаний мембраны.

Частотная характеристика конденсаторного микрофона сильно зависит от воздушного слоя за мембраной. На рис. 2 изображена частотная характеристика при нормальном атмосферном давлении 700 м.м. Как падение, так и повышение воздушного давления искажают частотную характеристику. С увеличением частоты слой воздуха все более и более противодействует колебаниям мембранны, способствуя тем самым уменьшению резонансных пик мембранны.

Позднейшие разработки и усовершенствования свелись к подбору формы и величине воздушного промежутка между мембраной и стенкой, изменению геометрических размеров микрофона. Для увеличения чувствительности его стальная мембрана была заменена дюралюминиевой толщиной от 0,01 до 0,05 м.м. Как указывалось, мощность конденсаторного микрофона весьма ничтожна и для увеличения ее он приключается к усилителю. Существуют две основных схемы включения микрофона.

Схема низкочастотная, которой пользовался Венте, которая и до сих пор является более распространенной (рис. 3);  $M$  — конденсаторный микрофон,  $R_1$  — нагрузочное сопротивление  $R_2$  — сопротивление утечки сетки,  $B_1$  — батарея поляризации складок микрофона.

Схема высокочастотная, разработанная Ригером в 1923/24 г.

Низкочастотный конденсаторный микрофон монтируется обычно с трехкаскадным усилителем на

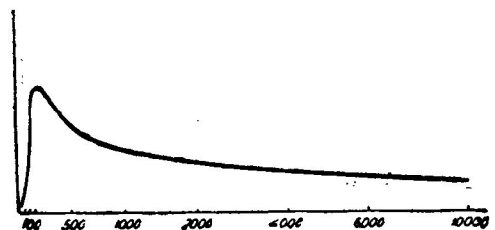


Рис. 2. Частотная характеристика.

сопротивлениях с выходным трансформатором, рассчитанным на включение в микроскопную обмотку следующего усилителя.

Как видно из рис. 3, низкочастотный микрофон включается через высокоомное сопротивление  $R_1$

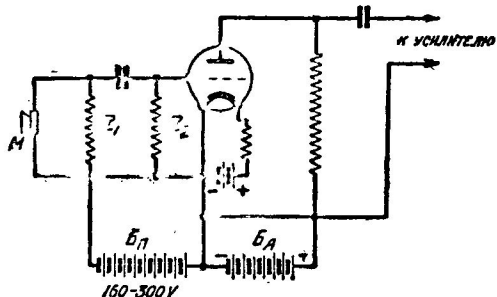


Рис. 3. Схема низкочастотного конденсаторного микрофона Венте

в цепь поляризующей батареи, напряжение которой лежит в пределах от 160 до 300  $V$  в зависимости от конструкции микрофона<sup>1</sup>. Иногда для простоты эксплуатации поляризующая батарея и батарея анода предварительного усилителя бывают общими.

Принцип работы такого микрофона следующий.

В состоянии покоя микрофон имеет некоторую емкость  $C$ , он получает от батареи заряд  $Q$ , величина которого определяется как  $Q = C V$ , где  $V$  — напряжение батареи, подаваемое через сопротивление. При попадании звука на мембрану микрофона емкость микрофона изменится на очень небольшую величину  $\Delta C$ . Соответственно этому изменится и заряд на величину равную  $\Delta Q = \Delta C \cdot V$ .

Так как изменение заряда создает в микрофонной цепи ток, то изменения силы тока будут находиться в соответствии с попадающей звуковой волной.

Этот переменный ток звуковой частоты создаст на сопротивлении  $R$  соответствующее переменное напряжение, усиливаемое затем усилителем.

Для действительной хорошей работы такого устройства необходимо:

1) Тщательное изготовление капсюля микрофона, хорошая изоляция его отдельных частей (порядка 2500 мегомов).

2) Высокое качество сопротивления. При плохой изоляции отдельных частей капсюля и плохих сопротивлениях микрофон сильно шумит.

3) Мембрана хорошо защищенная как от сильных воздуш-

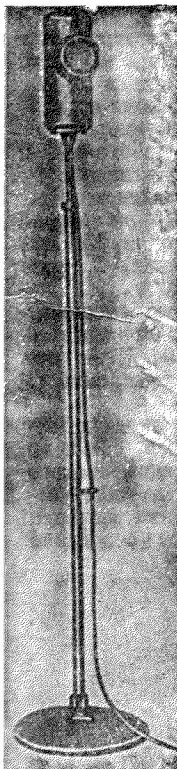


Рис. 4. Американский конденсаторный микрофон фирмы „Радиокорпорейшен“

<sup>1</sup> На схеме ошибочно указано соединение  $B_2$  с минусом батареи накала.

ных давлений, так и от механических сотрясений. Наличие сильных амплитуд мембранны при сравнительно малом расстоянии обкладок и довольно большого напряжения между ними ведет к пробою микрофона.

На рис. 4 изображен американский конденсаторный микрофон фирмы „Радиокорпорейшен“ типа 1005 A, собранный по низкочастотной схеме. На рис. 5 даны детали его: 1 — защитный алюминиевый кожух — экран (1), мягкая прокладка для изоляции усилителя от звука (2), капюшон конденсаторного микрофона (3), 4 — и 5 — трехламповый усилитель и выходной трансформатор.

На рис. 6 дан микрофон Бенте в разрезе. Здесь 1 — конус, натягивающий мембранны. 2 — корпус микрофона, 3 — дисковидная мембрана гощиной 0,05  $mm$ , 4 — задняя стенка обкладки, 5 — резиновая прокладка, 6 — воздушная прослойка между мембранны и стенкой, 7 — слой воздуха между мембранны и стенкой — 0,1  $mm$ , 8 — защитная латунная сетка.

Высокочастотная схема включения конденсаторного микрофона (Ригера) сводится к следующему (рис. 7).

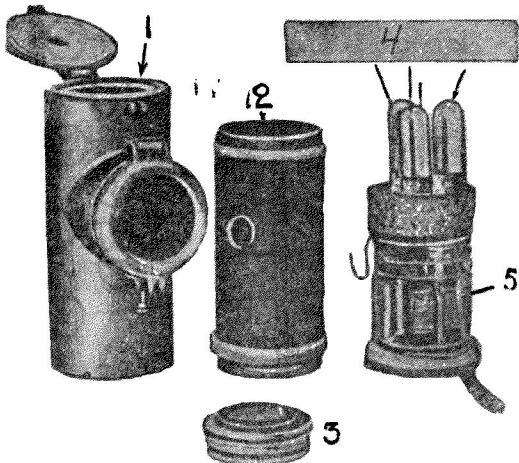


Рис. 5. Детали микрофона „Радиокорпорейшен“

Собирается генератор, который создает в контуре  $L_1 L_2 C_1$  колебания с частотой  $f$ . Истоки но слабы связанный с ним контур  $L_3 C_2$  настраивается с помощью конденсатора  $C_2$  также на частоту  $f$ .

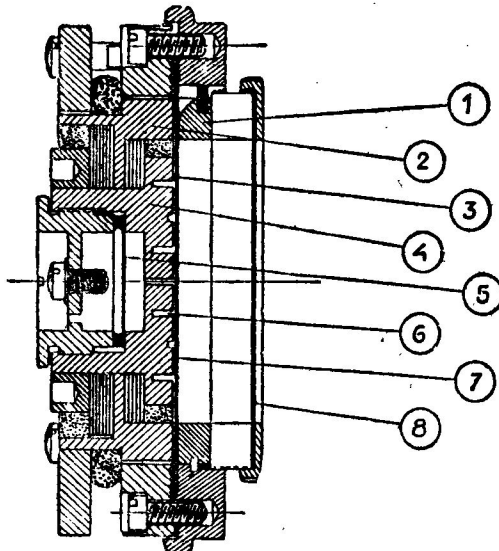
Если изобразить графически амплитуды вынужденных колебаний в этом контуре в зависимости от емкости  $C$ , то мы получим кривую резонанса, изображенную на рис. 8. Установив  $C$  на величину  $C_0$ , мы получим величину тока, равную  $J_0$  и лежащую ниже точки резонанса. Если параллельно  $C$  включить конденсаторный микрофон, то при изменении емкости его будет меняться соответственно и сила тока в контуре. Иначе говоря, незатухающие колебания в контуре  $L_3 C_2$  модулируются в соответствии с звуковыми колебаниями, попадающими на микрофон. Этот колебательный контур, состоящий из самонавески, конденсатора и конденсаторного микрофона, присоединен между стоком и нитью лампового детектора, которому дано такое отрицательное смещение, что он работает на нижнем сгибе характеристики.

**ристики. Низкая частота, полученная после детектирования, усиливается обычным порядком.**

Рис 9 показывает немецкий высокочастотный конденсаторный микр фн „Риера“. Капсюль (1), укрепленный на соответствующих амортизаторах (3), соединяется с комплексом генератора — детектора (2) шнуром, проходящим через заземленную металлическую трубу (4).

Дав краткий теоретический очерк о работе и принципах устройства кандидаторного микрофона, перейдем к описанию его самодельного изготовления.

Конденсаторный микрофон, описываемый в настоящей статье, включается по схеме рис. 40. Колебания в генераторе осуществляются лампой МТ-1 (1-волосковая УТ-1) при  $V_a = 160$  В,  $\lambda = 85-95$  м, колебательный контур состоит из катушек самоиндукции  $L_1, L_2, L_3$ , имеющих следующие данные:  $L_1 = 30$  витков пров. ПШД диам. 0,5 мм многослойной намотки. Размеры каркаса даны на рис. 11.  $L_2$  — катушка сетки генератора —



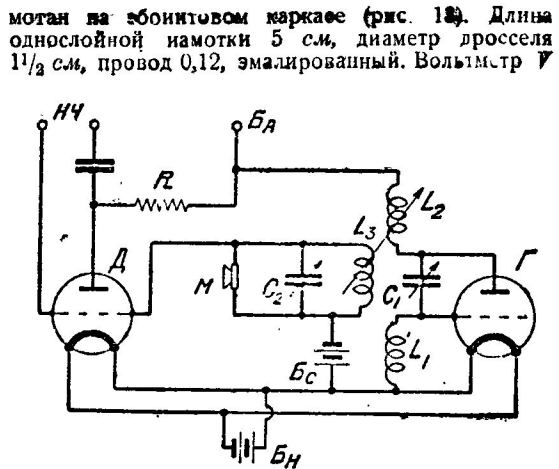
*Рис. 6. Разрез микрофона Венте*

**24** витка, того же провода.  $L_3$  — 7 витков того же провода.

Конденсатор пе́ременной емкости  $C_1$  переделан из "золоченого" тресто́ ского на 500 см<sup>2</sup>, емкость его порядка 170 см. Неподвижных пластин — 5, подвижных — 4, расстояние между ними — около 2,5 — 3 мм. Во избежание тресков и шорохов обязательно и обязательно подшипник, закрепленный в изолированном основании конденсатора, соединить надежно с осью конденсатора. Для этого достаточно припаять к втулке тонкую пластинку и зажать ее под упорную пружину, нажимающую на подвижные пластины конденсатора.

Для увеличения надежности изоляции последовательно с  $C_1$  введен слюдяной конденсатор  $C_2$  емкостью 350 мкФ.

Гришк имеет следующие данные: металлическое сопротивление бифилярной на-отки из изолированного никелевого диам. 0,05 мм ПШД сопротивление порядка 15000 $\Omega$ . Размеры каркаса даны на рис. 12. Конденсатор  $C_3$  грилья емкостью 15000 с.м. Дроссель высокочастотный на-



**Рис. 7. Принципиальная схема высокочастотного конденсаторного микрофона**

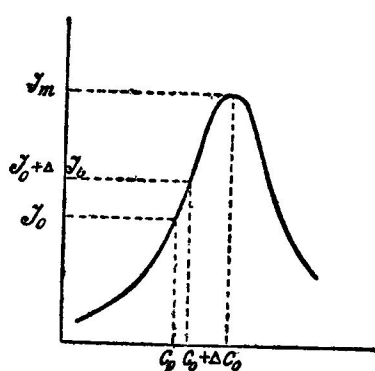
контролирует напряжение накала ламп, регулируемое реостатом  $r$  3—4 ома.

Конденсатор  $C_4$  блокировочной слюдяной около 3 000 см.

Колебательный контур дегектора, настроенный в резонанс с генератором, состоит из катушки самонавески  $L_4$ , выполненной как и  $L_1, L_2$  (рис. 11); число витков 2)-25 меняется в зависимости от устанавливаемой емкости микрофона, зависящей от расстояния между мембраной и решеткой. Катушка  $L_4$  связана индуктивно с  $L_3$  и может плавно изменять связь. Конденсатор  $C_4$  переменной емкости по ядру 60-70 см. переделан из трестовского "золоченного" в 250 см. Неподвижных пластин -3, подвижных -2, расстояние между ними около  $3\frac{1}{2}$  мм.

Конденсатор  $C_6$  блокирует батарею смещения сетки детектора. Емкость 16 000 см. Конденсатор  $C_8$  — щитовой, защищает микрофон  $M$  от постоянного напряжения батареи смещения, емкость его 350 см.

Миллиамперметр до 10 мА в цепи анода детектора служит для нахождения рабочей точки на резонансной кривой. Переоборудован из лютельского миллиампера. Число витков на катушке увеличено до 1800, п.т.:ов. 0,03, толщина катушки уменьшена на 4 мм. Карболовое основание



**Рис. 8. Резонансная кривая низкоточных высокочастотного конденсаторного микрофона**

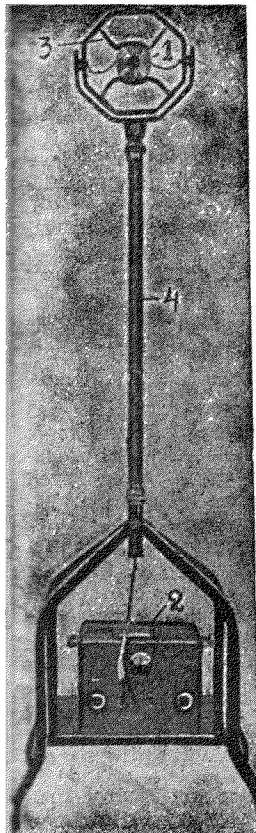


Рис. 9. Немецкий микрофон

**снято, прибер укреплен на эбонитовой панели микросфона. Шкала должна быть заново програм- дуирована.**

Низкочастотный дроссель  $D_3$  и конденсатор 0,2 мкФ служат для разгрузки усилителя от постоянной слыгающей тока. В качестве дросселя использована вторичная обмотка бронированного трансформатора (14 400 витков). Воздушный зазор в середине катушки равен 0,75 мм, практически осуществляется прокладкой картона толщиной 0,75 мм в стык между половинами сердечника внутри катушки. Трансформатор укрепляется к стенке ящика (см. рис. 21).

Сеточная батарея генератора 8-20 V;  $E_B$  — смещение детектора ок. 50 V. Клеммами  $B$  и  $Ba$  —  $Bn$  схема присоединяется к микрофонному усилителю.

Если у микрофонного усилителя нет специальной входной обмотки для конденсаторного микрофона, то последний

шний следующие данные ского бронированного вается первичная обмотка. И вторичная—850 кВт, напряжение

шний следующие данные  
скогого бронированного  
вается первичная обмотка  
змал. и вторичная—850

Конструкция капсюля самодельного конденсаторного микрофона показана в разрезе на рис. 14, эскизы отдельных частей капсюля — на рис. 15 и 16.

## **Обозначення:**

1,2 — латунные шайбы, между которыми натягивается тонкая алюминиевая мембрана (8), алюминиевый

левая фольга толщ. 0,05—0,03 м.м. Шайба одна имеет выточку (19) — желоб. Другая соответственно — конический выступ. Мембрана зажимается между желобом и выступом. Шайбы скрываются зажимными винтами (5, 4).

Мембрана натягивается конусом (6) до предела натяжения, для получения частоты собственного периода колебаний выше слышимой. Натяжение регулируется натяжным кольцом с нарезкой (10). Конус имеет выемку глубиной в 2 ми (7) для увеличения затухания мембранны. Для того чтобы при вращении натяжного кольца конус не вращался и не оборвал бы мембранны, не доведя ее до невозможнейшего предела натяжения, на конусе имеется шпонка (17), которая входит в прорезь (16) на резьбе одной из шайб.

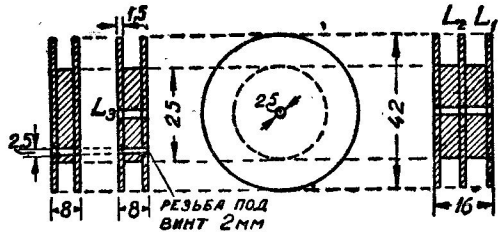
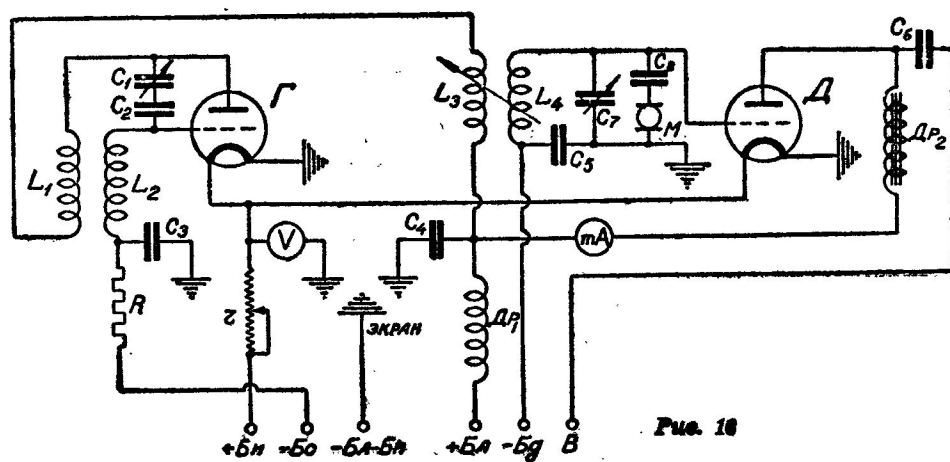


Рис. 11. Каркас патуки из сенки

По другую сторону мембранны имеется стена — решетка (11), которая и служит другой обкладкой конденсаторного микрофона. Во избежание вредного резонанса на слышимых частотах решетка сделана из толстой латуни толщ. 6 ми. Решетка имеет 16 отверстий, расположенных по радиусам. Отверстия сделаны конусом дым.  $2\frac{1}{2}$  ми с начальным днам. 4,3 ми, расположенным к источнику звука. Решетка эта может вращаться по газовой резьбе внутри эbonитового кольца (14) прилегающего к мемbrane.

Вращением решетки по резьбе можно точно менять расстояние от края эbonитового кольца и, следовательно, от мембрани микрофона.

Решетка закрепляется в необходимом положении наглухо контргайкой (15). Для подводки тока контргайка имеет винт для крепления проводника (12), эbonитовое кольцо крепится наружной зажимной шайбой (рис. 17) и винтами. Шайба



PVAC 10

равномерно давит на эбонитовое кольцо, которое плотно прижимается к поверхности мембранны (которая в свою очередь нажимает на натяжной конус); под натяжную шайбу прокладывается тонкое (1—2 мм) резиновое кольцо. Рабочее расстояние между решеткой и мембранны обычно

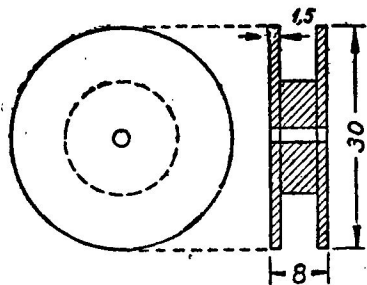


Рис. 12. Каркас гридлика

равно 0,03—0,07 мм (9). При изготовлении эбонитового кольца необходимо следить, чтобы во всех точках решетки расстояние было одинаково, для возможности точно регулировать расстояние между мембранны и решеткой. Степень точности подгонки можно проверять так. Готовую решетку ввертывают в эбонитовое кольцо. Накладывая точный угольник на сторону кольца, приближают вращением решетку до расстояния, равного при-

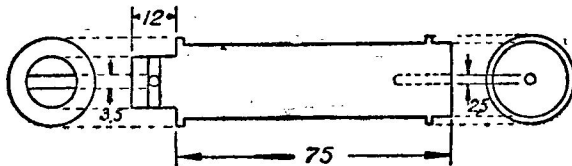


Рис. 13. Каркас дросселя

мерно толщине папиросной бумаги. Наблюдают, одинаково ли расстояние между всеми точками плоскости решетки и линейкой угольника. Если расстояние одинаково, линейку поворачивают на 45—90°. Если во всех положениях расстояние остается одинаковым на глаз, можно считать, что деталь изготовлена удовлетворительно. В случае же разных расстояний на разных точках решетки и угольника, деталь надо переделать.

Для включения мембранны в схему имеется контакт — винт (13), прижимающий проводник к зажимной шайбе.

Если имеется под рукой старый угольный двухсторонний микрофон МВ<sub>3</sub> завода Кулакова, который можно использовать для сборки конденсаторного, то к нему необходимо добавить помимо эбонитового кольца решетки и контратайбы заднюю стенку, которая укрепляется в зажиме для одного из имеющихся там угольных электродов. Разрез такого переделанного микрофона показан на рис. 18. Расстояние между стенкой и мембранный устанавливается в 2 мм.

Капсюль для амортизации подвешивается на резиновом кольце, начальный диаметр которого де натяжения — 9 см при диам. 5 мм, резиновое кольцо укрепляется на крючках микрофона, изго-

товленных из велосипедной спицы, и на крючках стойки кольца диаметром 205 мм. Разрез стойки дан на рис. 19. Кольцо-стойка соединяется с экраном тремя болтами (а), проходящими через ящик комплекта микрофона.

Зажимная шайба, следовательно, и мембранны соединяется с кольцом и стойкой гибким проводником.

Изолированная обкладка — решетка микрофона, соединяется со схемой тоже гибким проводником, через изолированный болт (б), к которому винтом присоединяется проводничок.

Болт изолируется от стойки и крепится через две эбонитовые втулки (в) двумя гайками (одна для включения в схему).

Вся схема микрофона монтируется на угловой эбонитовой панели, которая вдвигается в экранированный латунью или жестью деревянный ящик 303 × 180 мм и закрепляется вверху — к угольнику ящика болтами, внизу — к горизонтальной панели шурупами. Расположение приборов и деталей видно на фотографиях.

Рис. 20 дает наружный вид капсюля микрофона (все обозначения соответствуют рис. 14).

Рис. 21 дает общий вид микрофона с открытой передней крышкой. На снимке указаны два реостата, которые без ущерба заменены одним.

Рис. 22 показывает монтаж горизонтальной панели.

На что нужно обратить внимание при постройке микрофона, чтобы добиться наилучшей работы устройства?

Начнем с генератора:

1) Необходимо проверить все конденсаторы постоянной ёмкости как на пробой, так и на степень утечки их.

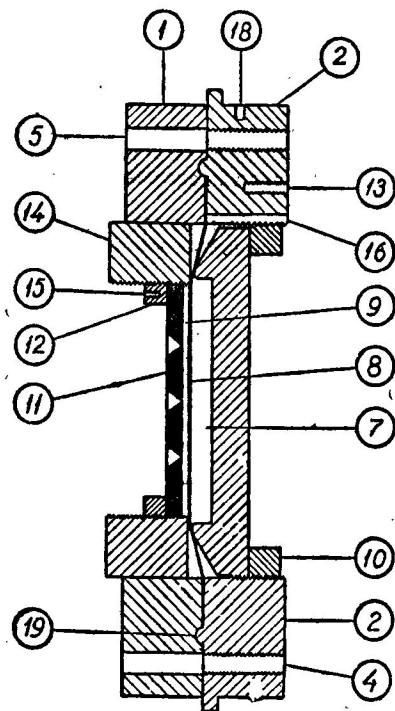
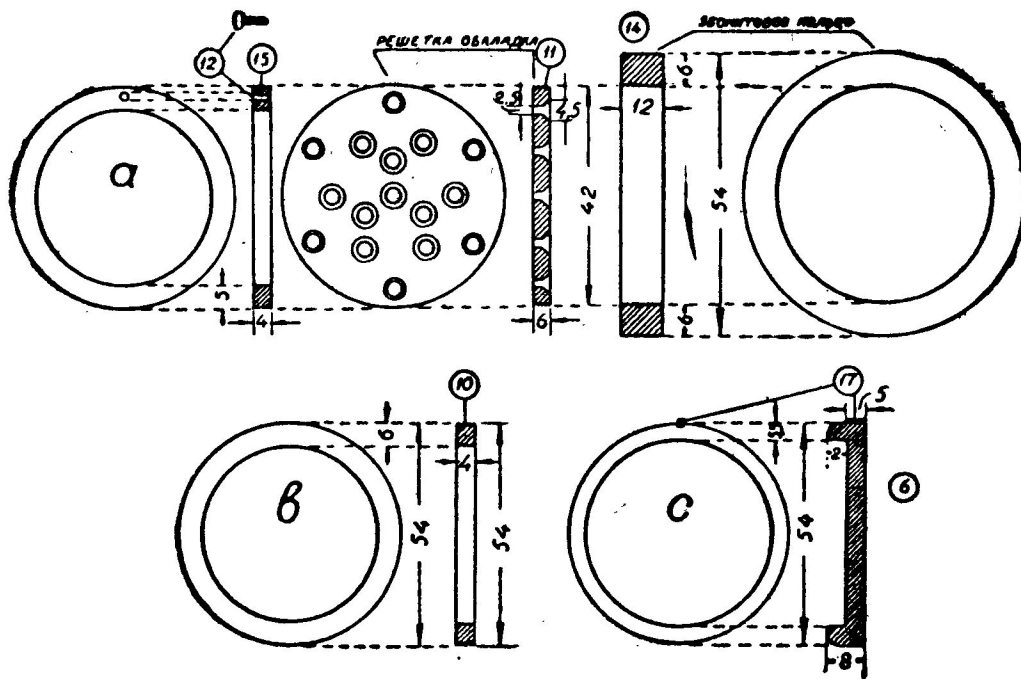


Рис. 14. Капсюль микрофона



ней между контурами таким образом, чтобы эти связи были в фазе. Практически это достигается переменой концов катушки  $L_0$ .

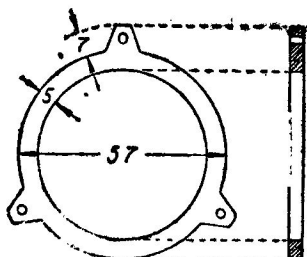


Рис. 17. Зажимная шайба

Материалом мембранны микрофона служит тонкий алюминий толщиной от 0,02—0,04 ми. Алюминий должен быть тщательно прокатан, иметь ровную блестящую поверхность. Если имеется мятый, то можно его выправить, прокатывая резиновыми валиками (фотографическими) на зеркале.

Если нет под руками алюминия, его можно заменить, с некоторым ущербом для частотной характеристики микрофона, обычным оловянным станиолем. Собственный период колебаний такой мембранны, ввиду большого удельного веса и малой упругости материала, несколько понизится и будет находиться ближе к частотам, употребляемых при речи и музыке, будут налицо некоторые

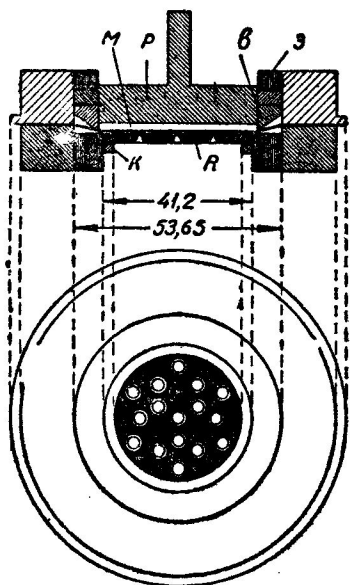


Рис. 18. Перевеланный из МВ-3 конденсаторный микрофон

искажения. Вероятный период собственных колебаний мембранны при наличии максимального натяжения, допустимого для данного материала, и наличия воздушного зазора будет иметь некоторую пику в пределе частот 2500—3000 герц/сек.

При сборке капсюля микрофона следует следить, чтобы металлическая крышка не ееек и пр. не

оставалась в полости пятачного конуса (между мембранны и задней стенкой). Наличие таких предметов и перемещение их может быть источником необъяснимых шорохов и тресков.

Для генератора выгоднее всего ставить лампу МТ-1 (одноволновую УТ-1). Для амортизации ламп нужно или сделать специальные свинцовые колпаки, плотно обхватывающие баллон лампы; или же покрыть лампу толстым слоем резинового клея; ставить нужно вообще лампы с более толстой нитью: хорошо работают лампы УТ-15, УК-30, которые с значительно большей выходной мощностью микрофона дают меньший микрофонный эффект. Практически же лампа МТ-1 или УТ-15, покрытая резиновым клеем, не дает звуна даже при сильных оркестровых исполнениях на расстоянии 5-6 м от микрофона.

В зависимости от типа применяемой лампы подбирается и сеточное смещение генератора практи-

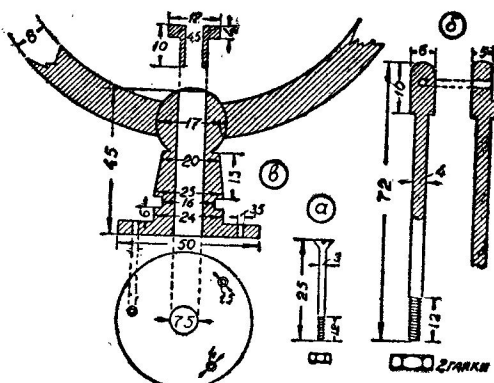


Рис. 19. Разрез стойки

тически в пределах от 18 до 20 вольт для МТ-1 и до 10 вольт при УТ-15.

То же надо сказать о детекторной лампе. Напряжение смещения при анодном напряжении в 160 В для лампы УТ-15 равно 40—50 вольт. При  $V = 130$  В для МТ-1 — 40—45 В. Для УТ-15 — 30—35 В.

Для правильной работы микрофона его надо соответствующим образом настроить. Практическая настройка осуществляется поворотом конден-

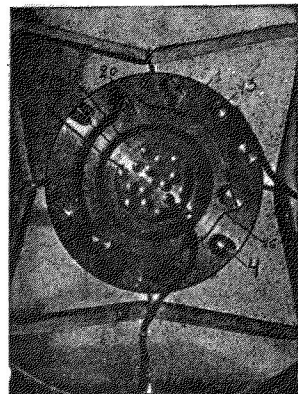


Рис. 20. Диафрагма микрофона

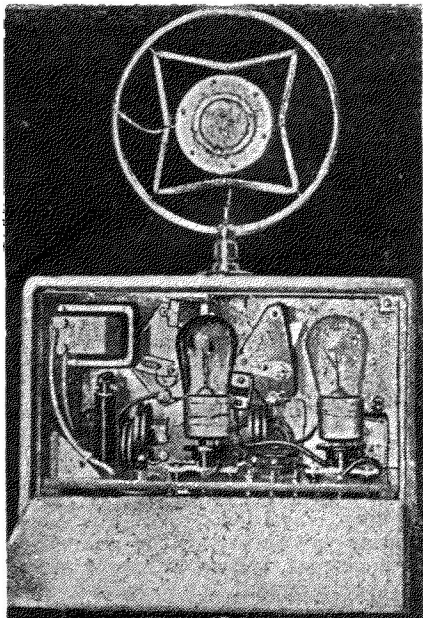


Рис. 21. Микрофонный усилитель, вид сзади

сатора контура  $C_1$  и подбюром необходимой связи между контурами генератора и детектора. Контроль резонанса ведут по миллиамперметру в цепи детекторной лампы. Практически рабочая точка устанавливается на половинном значении показания прибора, достигаемого при резонансе. С увеличением связи мощность микрофона возрастает, при уменьшении падает. Кривая рис. 23 показывает изменение напряжения на выходе усилителя от изменения поворота катушки связи в градусах при максимальной мощности микрофона, отрегулированного для каждого градуса поворота катушки связи и при неизменных: частоте 150 герц/сек.,  $V_a = 160$  В,  $V_2 = -13$  В,  $V_d = -35$  В, расстоянии до источника звука 2 м.

По кривой видно, насколько сильно увеличивается мощность комплекса микрофона при работе на большой связи между контурами — при работе на срыве колебаний генератора. Работать однако при такой связи нецелесообразно, так как при очень

большой мощности (до 70 раз по напряжению), работа микрофона становится неустойчивой. Мощность его резко меняется от небольших изменений накала и анодного напряжения.

Обычно приходится работать при слабой связи контуров ( $80-70^\circ$  на кривой). При такой связи мощность конденсаторного микрофона превосходит мощность угольного микрофона „Рейс“ примерно в 7 и 8 раз по напряжению.

Для уничтожения помех при большом расстоянии от усилителя, все подводящие ток проводники необходимо бронировать, прокладывая их в трубках Бергмана, или же выполняя всю проводку в освинцованных кабелях.

Проводники, присоединенные к самому микрофону, если длина их не превышает 2 м, могут быть свиты из обычного гибкого шнура без применения специальной брони. Надо лишь следить, чтобы проводник, идущий от зажима низкой частоты, т. е. от разделительного конденсатора детектора, был бы введен внутри всей системы проводников, которые частично служат защитным экраном от статических воздействий.

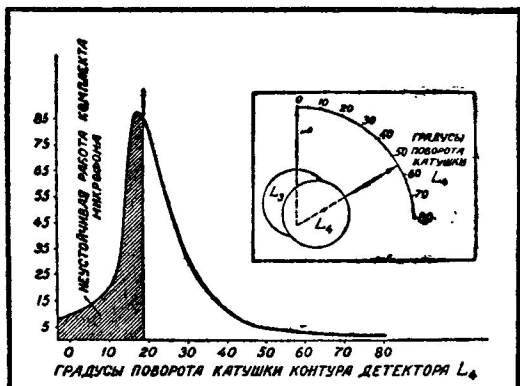


Рис. 23. Кривая зависимости мощности микрофона от угла поворота катушки контура детектора  $L_4$ .

По сравнению с высокочастотным конденсаторным микрофоном Риггера, наличие в высокочастотного дросселя-фильтра в описываемой конструкции значительно уменьшает помехи. При подоб-

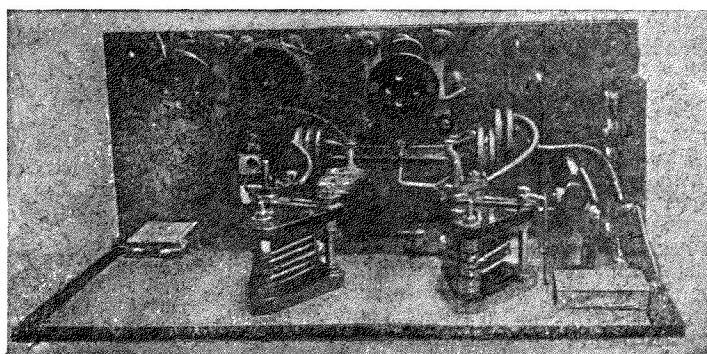


Рис. 22. Монтаж деталей